

ภาคผนวก

I. อิทธิพลของปริมาณสารวัลค่าในชีที่เหมาะสม

ทำการทดลองโดยแบ่งปริมาณสารวัลค่าในชี (Vulcanizing agent) ด้วยระบบกำมะถันแบบปกติ โดยจะเทียบกับสัดส่วนของยางธรรมชาติหรือยางใหม่ (NR) สัดส่วนของยางทั้งหมด (CRM+NR) และสัดส่วนของยางรวมกับพลาสติกทั้งหมด (CRM+NR+HDPE) จะกำหนดให้ปริมาณของยางครั้งปี ยางธรรมชาติ และพลาสติก (CRM/NR/HDPE) คงที่อยู่ที่อัตราส่วน 40/10/50 ตามลำดับ และใช้ การวัลค่าในชีระบบกำมะถันแบบปกติโดยใช้สูตรดังตารางที่ 1

ตารางที่ 1 ส่วนผสมที่ใช้ในการเตรียมTPVs ที่แบ่งปริมาณสารวัลค่าในชี

Formula	Ingredients, parts by weight							
	CRM	NR	Stearic acid	6 PPD	ZnO	TBBS	Sulphur	HDPE
A	40	10	0.1	0.1	0.5	0.1	0.25	50
B	40	10	0.5	0.5	2.5	0.5	1.25	50
C	40	10	1	1	5	1	2.5	50

สูตร A จะใช้ปริมาณสารวัลค่าในชีเทียบกับยางใหม่หรือยางธรรมชาติ ตั้งสมมติฐานว่าสารวัลค่าในชีจะเข้าไปในส่วนของยางธรรมชาติที่ยังไม่ได้วัลค่าในชีเท่านั้น (ยางธรรมชาติ 10 ส่วน) ไม่เข้าไปในส่วนของยางครั้งปีซึ่งผ่านการวัลค่าในชีมาแล้ว

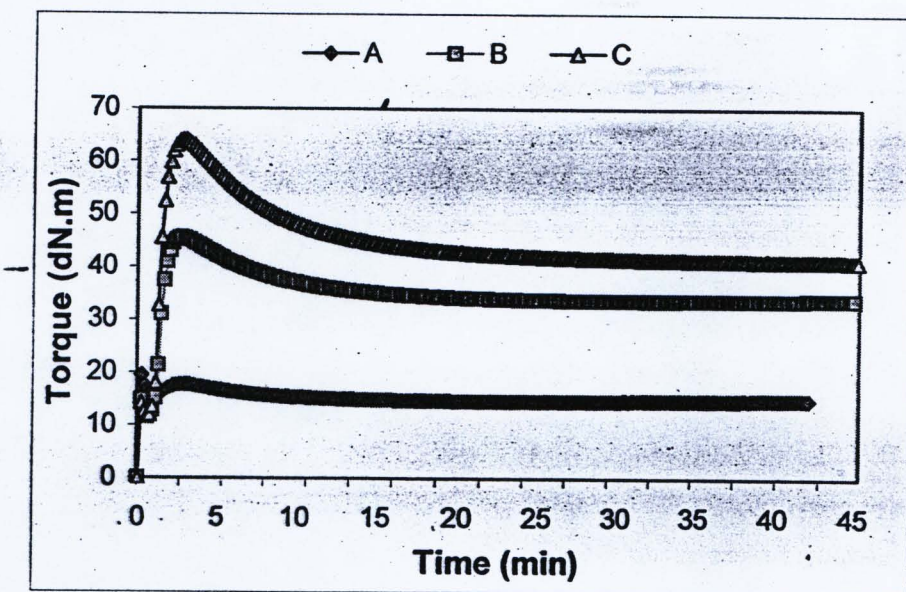
สูตรที่ B จะใช้ปริมาณสารวัลค่าในชีโดยเทียบกับปริมาณยางทั้งหมดทั้งยางครั้งปีและยางธรรมชาติ (CRM+NR คิดเป็น 50 ส่วน) โดยจะคูณ 5 เท่าของสูตรแรก ตั้งสมมติฐานว่าสารวัลค่าในชีจะเข้าไปในส่วนของยางใหม่และยางครั้งปีด้วย เพื่อระย่างครั้งปีอาจเกิดการ Devulcanization ขึ้นได้ทำให้สามารถเชื่อมโยงพันธะได้อีกครั้ง สารเคมีที่เหลืออยู่ในยางธรรมชาติอาจไม่เพียงพอที่จะทำให้เกิดการวัลค่าในชี

และสูตร C จะเทียบปริมาณสารวัลค่าในชีกับสารทั้งหมดทั้งยางและพลาสติก (CRM+NR+HDPE) คิดเป็น 100 ส่วน) โดยจะคูณ 10 เท่าของสูตรแรก ตั้งสมมติฐานว่าสารวัลค่าในชีจะเคลื่อนที่เข้าไปในส่วนของยางธรรมชาติ ยางครั้งปีและในพลาสติกด้วย เนื่องจากพลาสติกและยางธรรมชาตินิ่วพารามิเตอร์ก่อละลายใกล้เคียงกัน (8.0 และ $8.1 \text{ cal}^{1/2} \text{ cm}^{-3/2}$ ตามลำดับ)

และในการทดลองข้อนี้ได้เปลี่ยนเกรดของพอลิเอทิลีนชนิดความหนาแน่นสูง เป็นเกรด R1760 มีค่าดัชนีการไหลเท่ากับ $5.3 \text{ g}/10 \text{ min}$

สมบัติการวัดค่าในช่อง CRM-NR Masterbatch

ในการเตรียมเทอร์โนพลาสติกวัลค่าในช่องต้องผ่านความร้อนสูงจากการเบลนด์และการฉีดขึ้นรูปเป็นชิ้นงานใช้เวลาประมาณ 20 นาที จึงทดสอบลักษณะการวัดค่าในช่อง CRM-NR Masterbatch ด้วยเครื่อง Oscillating Disk Rheometer 2000 ที่อุณหภูมิ 180°C ได้กราฟการวัดค่าในช่องหรือ ODR curve กล่าวคือความสัมพันธ์ระหว่างแรงบิด (ทอร์ค) กับเวลาแสดงดังรูปที่ 1



รูปที่ 1 ความสัมพันธ์ระหว่างค่าทอร์คกับเวลาของ CRM-NR Masterbatch ที่ปรับปรุงสารวัลค่าในช่องทดสอบที่อุณหภูมิ 180°C ด้วยเครื่อง Oscillating Disk Rheometer 2000

ตารางที่ 2 ค่าทอร์คสูงสุด (M_H), ค่าทอร์คต่ำสุด (M_L), เวลาสกอร์ต (Scorch, T_{S1}) และเวลาการวัดค่าในช่อง (T_{C90}) ของยางธรรมชาติวัลค่าในช่องที่ปรับปรุงสารวัลค่าในช่อง จากเครื่อง ODR ที่อุณหภูมิ 180°C

Formula	M_H (dN.m)	M_L (dN.m)	$M_H - M_L$ (dN.m)	T_{C90} (min)	T_{S1} (min)
A	17.82	15.80	2.02	2.50	1.85
B	45.52	11.86	33.66	1.85	0.90
C	63.94	11.67	52.27	1.80	0.80

จากรูปที่ 1 และตารางที่ 2 จะพบว่า CRM-NR Masterbatch สูตร A ที่ใช้สารวัลค่าในช่องเทียบกับปริมาณของยางธรรมชาติหรือยางใหม่เพียงอย่างเดียว คิดเป็น 10 ส่วน จะมีค่าทอร์คต่ำและจะเกิดการรีเวอร์ชันเล็กน้อย แล้วค่าทอร์คจะคงที่เมื่อเวลาเพิ่มขึ้น อยู่ที่ประมาณ 15 dN.m เท่านั้น ซึ่งจะมีค่าไกล์เดิงกับยางที่ยังไม่วัลค่าในช่อง จะมี scorch time และ cure time นานที่สุด และค่าทอร์คต่ำที่สุด เมื่อเปรียบเทียบกับ CRM-NR Masterbatch ที่ใช้สารเคมีมากกว่า อาจเนื่องมาจากสารวัลค่าในช่องไม่ได้เข้าไปในส่วนของ

ยางใหม่เท่านั้น

แต่เข้าไปในส่วนของยางครั้มป้อกคัวห์

เพราะยางครั้มป้อสามารถเกิดการ

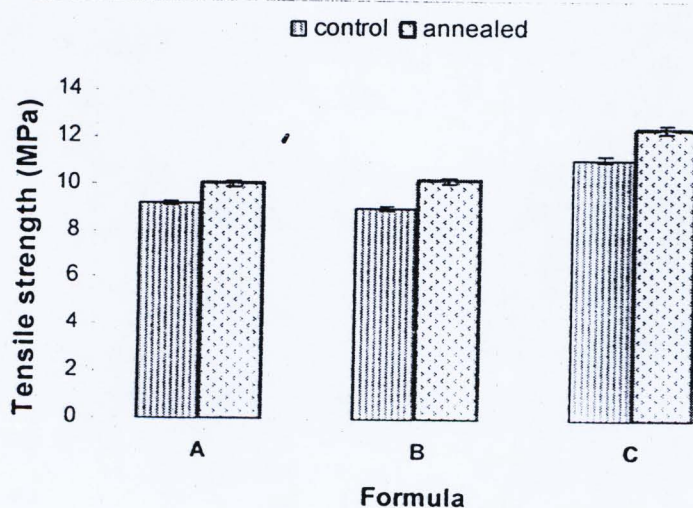
Devulcanization ได้ด้วยแรงเนื้อนขยะบดผสมซึ่งเป็นวิธีหนึ่งในการทำยางเร็วเคลมทำให้พันธะที่เรื่องโดยถูกทำลายด้วยแรงกล (mechanical force) มีผลให้สารวัลค่าในซีไม่เพียงพอที่จะทำให้ยางสร้างพันธะได้ทั้งหมด (Myhre, M. and Mackillop, D.A., 2002) การที่ scorch time และ cure time สั้นมากนั้น เมื่องจากในยางครั้มป้อจะมีสารวัลค่าในซีอยู่แล้วส่วนหนึ่งทำให้สารวัลค่าในซีเข้าไปทำปฏิกิริยาได้อย่างรวดเร็ว

ส่วนใน CRM-NR Masterbatch สูตร B ที่ใช้สารวัลค่าในซีเทียบกับยางทั้งหมด คิดเป็น 50 ส่วน พบว่าจะมีค่าทอร์ค สูงสุดที่ 45.52 dN.m เพิ่มจากการใช้สารเคมีเทียบกับยางใหม่เพียงอย่างเดียวเท่านั้น 3 เท่า มี scorch time และ cure time สั้นมากและจะเกิดการรีเวอร์ชันขึ้นอย่างเห็นได้ชัด แต่ห้องจาก 20 นาที ผ่านไป ค่าทอร์คจะคงที่ประมาณ 35 dN.m แสดงว่าสารวัลค่าในซีสามารถเข้าไปทำให้ยางสร้างพันธะเรื่องโดยกันมากขึ้น

และใน CRM-NR Masterbatch สูตร C ที่ใช้สารวัลค่าในซีเทียบกับยางและพลาสติกทั้งหมด คิดเป็น 100 ส่วน พบว่าจะมี scorch time และ cure time สั้นมาก ค่าทอร์คสูงสุดที่ 63.94 dN.m และจะเกิดการรีเวอร์ชันอย่างชัดเจนนานถึงที่ 25 นาที กราฟจะค่อยๆ คงที่ที่ 42 dN.m แสดงว่าสารเคมีเพียงพอในการวัลค่าในซียาง

แสดงว่าในกระบวนการเบลนด์และการนิดขึ้นรูปเป็นเวลานานประมาณ 20 นาที ที่อุณหภูมิ 180°C จะทำให้ยางมีค่าทอร์คคงที่ ซึ่งปริมาณสารวัลค่าในซีสูงๆ จะทำให้ค่าทอร์คเพิ่มสูงขึ้นด้วย แต่ใน CRM-NR Masterbatch มีส่วนผสมแค่ยางเท่านั้น จึงไม่สามารถทราบได้ว่าสารวัลค่าในซีจะเข้าไปในไฟล์ของพลาสติกหรือไม่ เมื่อเบลนด์ CRM-NR Masterbatch กับพลาสติกแล้ว สารวัลค่าในซีอาจจะไม่เพียงพอหรือมากเกินไป จึงต้องทดสอบสมบัติของเทอร์โมพลาสติกวัลค่าในซีต่อไป

การทดสอบสมบัติความต้านทานต่อแรงดึง

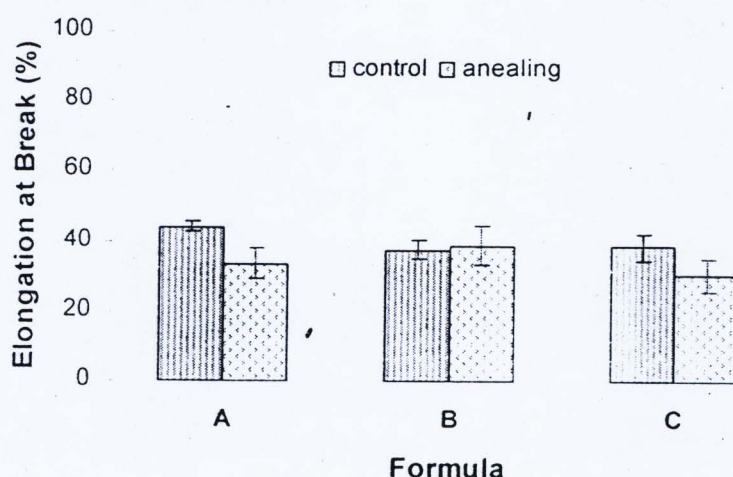


รูปที่ 2 ความต้านทานต่อแรงดึงของเทอร์โมพลาสติกวัลค่าในซีที่มีปริมาณสูง รูปที่ 1 ในซีเทียบกับส่วนต่างๆ และสมบัติหลังจากการ Annealing ที่ 100°C เป็นเวลา 24 ชั่วโมง

จากรูปที่ 2 เป็นความด้านทานต่อแรงดึงจันขาดของเทอร์โมพลาสติกวัลค่าในซีที่แปรปริมาณสารเคมีที่ใช้เทียบกับส่วนต่างๆ จะพบว่าในสูตร A และสูตร B ความด้านทานต่อแรงดึงไกล์เดียงกันอยู่ที่ประมาณ 9 MPa ส่วนสูตร C จะมีความด้านทานต่อแรงดึงสูงที่สุด 11 MPa จะสังเกตลักษณะจากรูปที่ 1 ในสูตร B จะพบว่าค่าทอร์คอยู่ในระดับสูงกว่าสูตร A เป็นเท่าตัว น่าจะทำให้มีความด้านทานต่อแรงดึงสูงกว่าด้วย แต่กลับมีค่าไกล์เดียงกัน ทึ้งนี้อาจมาจากสารวัลค่าในซีใน CRM-NR masterbatch เคลื่อนที่เข้าสู่ในส่วนของพลาสติก ทำให้สารวัลค่าในซีไม่เพียงพอที่จะทำให้ยังมีความแข็งแรง ส่วนในสูตร C ที่มีปริมาณสารวัลค่าในซีมาก สารเคมีกระชาเข้าไปในส่วนของยางและพลาสติกได้พร้อมกัน ไม่เลือกเข้าเฉพาะเพสของยาง การใช้สารวัลค่าในซีที่ปริมาณมากทำให้สารเคมีสามารถเข้าไปรักษาในซีในส่วนของยาง ได้เพียงพอ ทำให้ส่วนของยางมีความแข็งแรง เมื่อเปลี่ยนค่าสมทำให้เพสของยางวัลค่าในซีกระชาด้วยในพลาสติกได้ดี ผิวประชุมระหว่างเพสยางกับพลาสติกเรื่องติดกันดี มีความเข้ากันได้มากขึ้น การดึงให้ขาดจึงต้องใช้แรงมากขึ้นเพื่อไปทำลายพันธะระหว่างยางและผิวประชุมระหว่างยางกับพลาสติก

ผลของการนำเข้ากระบวนการที่ผ่านการฉีดขึ้นรูปแล้วนำไปอบต่อที่อุณหภูมิ 100°C เป็นเวลา 24 ชั่วโมง จะทำให้เทอร์โมพลาสติกวัลค่าในซีค่าด้านทานต่อแรงดึงเพิ่มขึ้นเป็นแนวโน้มเดียวกัน เนื่องจากพอลิเอทธิลีนเป็นพลาสติกที่สามารถแตกผลึกได้ (Semi-crystalline) เมื่อผ่านการฉีดขึ้นรูปจะต้องหลอมด้วยอุณหภูมิสูงในสกุลแล้วเย็นตัวในเม็ดอย่างรวดเร็ว อาจทำให้โครงสร้างจัดเรียงตัวเป็นผลึกเร็วเกินไป และยางครั้นป้อาจไปรบกวนการแตกผลึกของพอลิเอทธิลีน ทำให้สมบัติที่ได้ซึ่งไม่สมบูรณ์ การนำไปอบอีกครั้งในระยะเวลาที่นานขึ้น จะทำให้สายโซ่คายตัวออกและเรียงตัวเป็นผลึกใหม่ (Recrystallization) ผลึกที่ได้จะเป็นระเบียบและมีความแข็งแรงเพิ่มขึ้นด้วย ต้องใช้แรงมากขึ้นในการทำให้ขาด

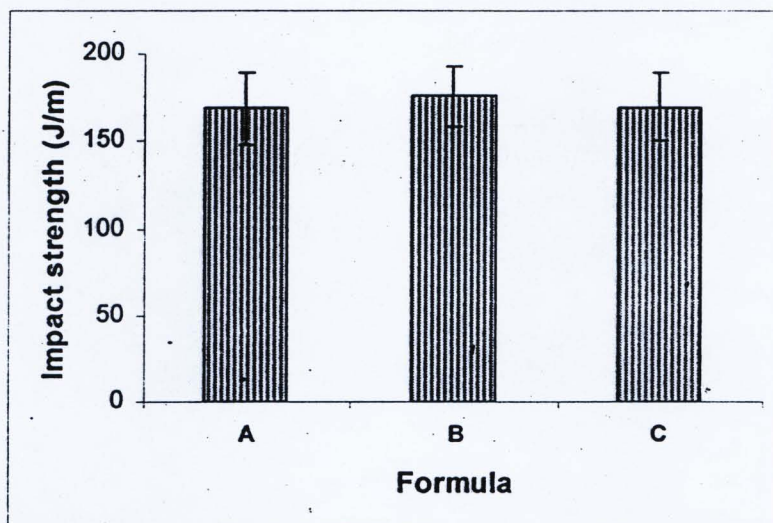
การทดสอบความสามารถในการยึดจันขาด



รูปที่ 3 ความสามารถในการยึดจันขาดของเทอร์โมพลาสติกวัลค่าในซี TPVs ที่มีปริมาณสารวัลค่าในซีเทียบกับส่วนต่างๆและสมบัติหลังจากการ Annealing ที่ 100°C เป็นเวลา 24 ชั่วโมง

จากการทดสอบเทอร์โมพลาสติกวัลค่าในชีพนบว่าค่าความสามารถในการยึดจันหาดค่อนข้างคำ (ไม่ถึง 100 %) แต่จะมีค่าใกล้เคียงกันมากอยู่ที่ประมาณ $40 \pm 5\%$ และเมื่อผ่านการ Annealing ก็จะมีความสามารถในการยึดจันอย่างเดือน้อย เนื่องจากโครงสร้างพลักมีเปลี่ยนแปลงจากการอบ

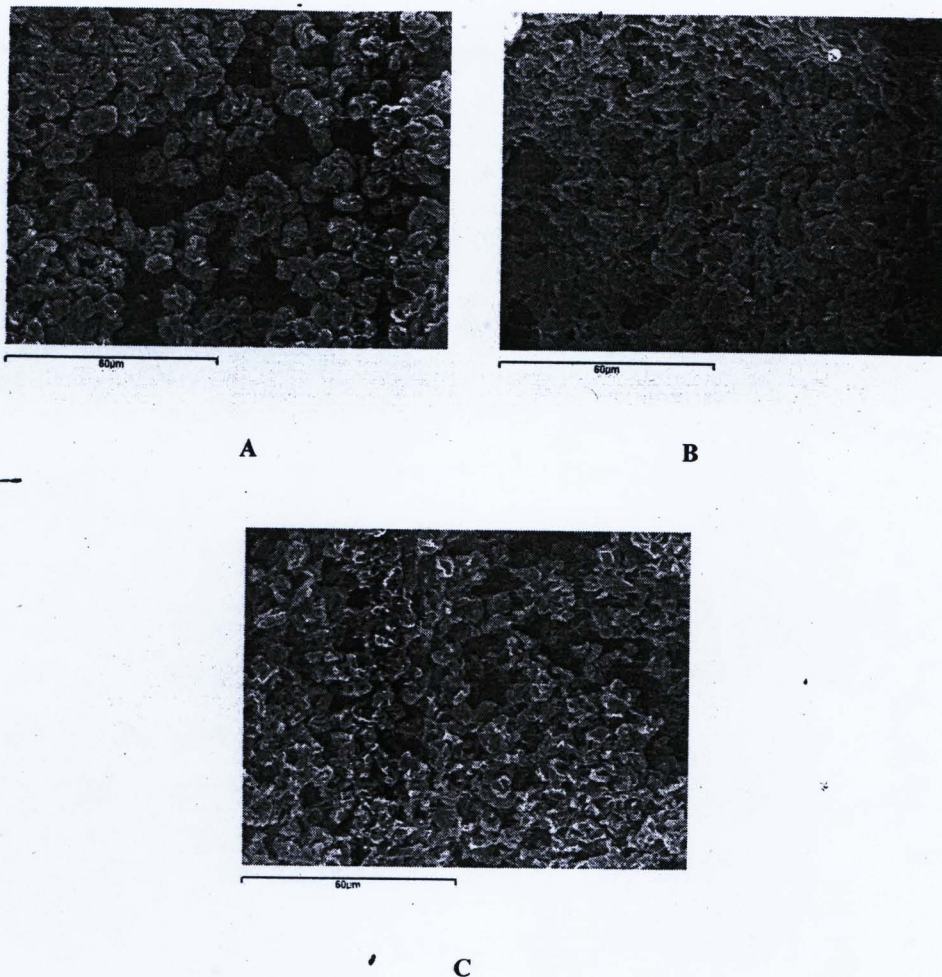
การทดสอบความต้านทานต่อแรงกระแทก



รูปที่ 4 ความต้านทานต่อแรงกระแทกของ TPVs ที่มีปริมาณสารวัลค่าในชีพนบว่ากับส่วนค่าฯ

จากรูปที่ 4 พบร่วาเทอร์โมพลาสติกวัลค่าในชีพนบว่าที่เปรียบปริมาณสารวัลค่าในชีพนบว่ากับความต้านทานต่อแรงกระแทกใกล้เคียงกันที่ประมาณ 170 ± 10 J/m อาจเนื่องมาจากการสัดส่วนของยาง พลาสติกคงที่และปริมาณสารวัลค่าในชีพนบว่าไม่ได้เข้าไปเป็นตัวคุณลักษณะงานกระแทกไว้ ปริมาณสารวัลค่าในชีพนบว่าไม่เป็นค่าวัปรที่ทำให้ค่าความต้านทานต่อแรงกระแทกเปลี่ยนแปลงไปมากนัก

การศึกษาลักษณะสัณฐานวิทยา



รูปที่ 5 SEM Micrographs ของเทอร์โนพลาสติกวัลคานайнซ์ที่เตรียมจากการเบลนด์ยางครั้งปีกับ พอลิเอทิลินชนิดความหนาแน่นสูง โดยปริมาณสารวัลคานайнซ์ ซึ่งใช้กำลังขยาย 1000 เท่า

จากรูปที่ 5 เป็นลักษณะสัณฐานวิทยาของเทอร์โนพลาสติกวัลคานайнซ์ที่ปรับปริมาณสารวัลคานайнซ์ ที่วิเคราะห์โดยการส่องจากกล้องจุลทรรศน์อิเล็กตรอนแบบส่องgraphic แสดงให้เห็นว่าในการเตรียม เทอร์โนพลาสติกวัลคานайнซ์โดยกระบวนการวัลคานайнซ์แบบไดนามิกซ์จะทำให้อุบากധانมีลักษณะเป็น ก้อนกลมกระจายตัว (dispersion) อยู่ในเฟสของพลาสติกที่เป็นเฟสต่อเนื่อง (matrix) และพบว่าการใช้ สารวัลคานайнซ์ต่างกันจะทำให้อุบากধันมีขนาดต่างกันโดยจะเรียงจากมากไปน้อยดังนี้ สูตร A > สูตร B > สูตร C ตามลำดับ ด้านอกเฟสของยางมีขนาดยิ่งเล็ก สม่ำเสมอ และกระจายตัวอย่างทั่วถึงก็จะทำให้เทอร์โนพลาสติกวัลคานайнซ์มีสมบัติดีขึ้น ในที่นี้แสดงให้เห็นว่าการใช้ปริมาณสารวัลคานайнซ์เทียบกับยางและ พลาสติกทั้งหมดมีสมบัติดีสอดคล้องกับสัณฐานวิทยา

II. เตรียมเทอร์โมพลาสติกวัลค่าในชีทที่ประปริมาณสารและชนิด Compatibilizer (HDPE-g-MA และ PhSP-HDPE) โดยเลือกใช้ระบบวัลค่าในชีทแบบประสิทธิภาพและสัดส่วนการเบلنด์ CRM/NR/HDPE ที่ 40/10/50

การดัดแปลงโมเลกุลของพอลิเอทิลีนชนิดความหนาแน่นสูงเพื่อใช้เป็นสารเพิ่มความเข้ากันได้

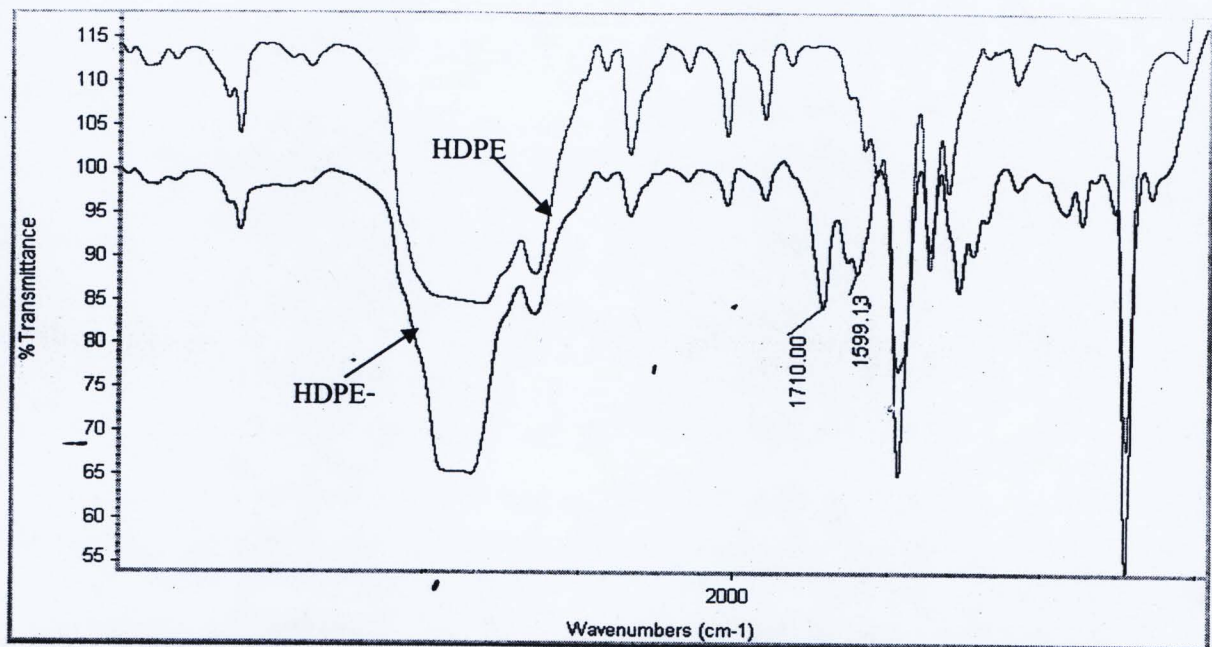
1.1 การเตรียมกราฟ์โโคโพลิเมอร์ของพอลิเอทิลีนชนิดความหนาแน่นสูงกับมาลิอิกแอนไฮไครค์ (HDPE-g-MA) และการวิเคราะห์ทางปริมาณการกราฟ์ของมาลิอิกแอนไฮไครค์

เตรียมกราฟ์โโคโพลิเมอร์ของพอลิเอทิลีนชนิดความหนาแน่นสูงกับมาลิอิกแอนไฮไครค์ (HDPE-g-MA) โดยขوبพอลิเอทิลีนชนิดความหนาแน่นสูง ที่อุณหภูมิประมาณ 40°C เป็นเวลา 24 ชั่วโมง เพื่อกำจัดความชื้น ซึ่งมาลิอิกแอนไฮไครค์ปริมาณ 5 เปอร์เซ็นต์โดยน้ำหนักของพอลิเอทิลีนชนิดความหนาแน่นสูง(%wt HDPE) ผสมกับไดคิวมิลเปอร์ออกไซด์ (DCP) ปริมาณ 2 %wt HDPE จากนั้นนำมาละลายในอะซีโตนแล้วนำไปผสมกับพอลิเอทิลีนชนิดความหนาแน่นสูง ระหว่างอะซีโตนออกโดยนำไปแช่ใน water bath แล้วนำไปอบในตู้อบที่อุณหภูมิประมาณ 40°C เป็นเวลา 24 ชั่วโมง จากนั้นนำไปทดสอบด้วยเครื่องบราบเนคอร์ พลาสติคอร์เดอร์ ที่อุณหภูมิ 180°C ความเร็วโรเตอร์เท่ากับ 60 รอบต่อนาที (ใช้ Fill factor เท่ากับ 0.8 ของปริมาตรความจุห้องผสมของเครื่องบราบเนคอร์ พลาสติคอร์เดอร์) เป็นเวลา 10 นาที แล้วนำไปวิเคราะห์โครงสร้างของกราฟ์โโคโพลิเมอร์ของพอลิเอทิลีนชนิดความหนาแน่นสูง ด้วยเทคนิค FTIR

1.2 การดัดแปลงโมเลกุลของพอลิเอทิลีนชนิดความหนาแน่นสูงด้วยไดเมทิลอลฟีโนลิกเรชิน (Phenolic modified high density polyethylene, PhSP-HDPE)

เตรียม PhSP-HDPE โดยทำการซั่งพอลิเอทิลีนชนิดความหนาแน่นสูงปริมาณ 1:10 ส่วนโดยน้ำหนัก แล้วอบที่อุณหภูมิประมาณ 40°C เป็นเวลา 24 ชั่วโมง เพื่อกำจัดความชื้น ทำการบดผสมด้วยเครื่องบราบเนคอร์ พลาสติคอร์เดอร์ ที่อุณหภูมิ 180°C ความเร็วโรเตอร์เท่ากับ 60 รอบต่อนาที (ใช้ Fill factor เท่ากับ 0.8 ของปริมาตรความจุห้องผสมของเครื่องบราบเนคอร์ พลาสติคอร์เดอร์) เป็นเวลา 2 นาที จากนั้นบดผสมกับไดเมทิลอลฟีโนลิกเรชิน (SP-1045) 4 ส่วน โดยน้ำหนักของพอลิเอทิลีนชนิดความหนาแน่นสูงเป็นเวลา 1 นาที แล้วจึงเติม Stannous Chloride (SnCl_2) เพื่อเป็น Halogen donor ปริมาณ 0.8 ส่วน โดยน้ำหนักของ พอลิเอทิลีนชนิดความหนาแน่นสูง (George. et al., 2000) ลงในห้องผสมต่ออีก 1 นาที แล้วนำไปอบลิเมอร์ออก ทำให้เย็นที่อุณหภูมิห้อง นำไปวิเคราะห์โครงสร้างของพอลิเอทิลีนชนิดความหนาแน่นสูงที่ดัดแปลงโมเลกุลด้วยไดเมทิลอลฟีโนลิกเรชิน ด้วยเทคนิค FTIR

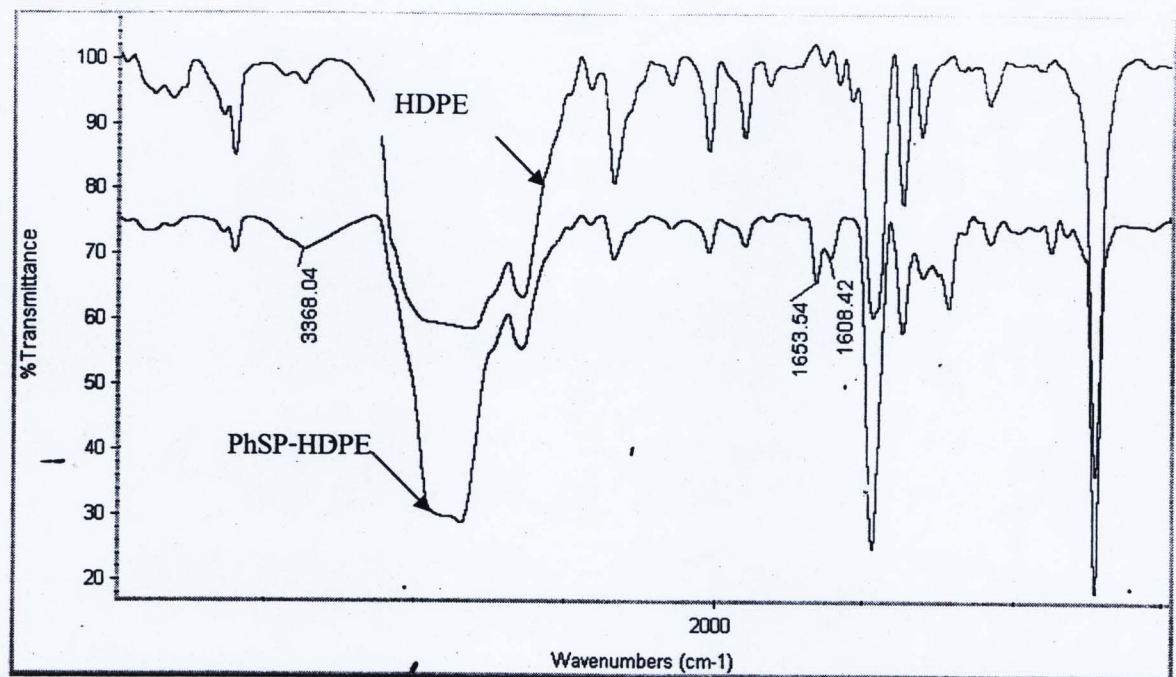
การเตรียมและสเปกตรัมอินฟราเรดของ HDPE-g-MA และวิเคราะห์ด้วยเครื่อง FTIR ได้
สเปกตัรัมอินฟราเรด แสดงดังรูปที่ 6



รูปที่ 6 อินฟราเรดสเปกตัรัมของ HDPE และ HDPE-g-MA

จากการเตรียม HDPE-g-MA แล้วนำมาวิเคราะห์เปรียบเทียบกับ HDPE ดังรูปที่ 6 พบว่า สารเพิ่มความเข้ากันได้ที่เตรียมได้นี้ ปรากฏพิคที่ตำแหน่งคลื่น 1710 cm^{-1} จะแสดงถึงการสั่นแบบยีดแบบสมมาตร (Symmetric stretching vibration) ของหมู่คาร์บอนิล (-C=O) ซึ่งเป็นการคุ้งกลืนของหมู่กรดชักซินิก (Succinic acid) ที่เกิดจากการแตกตัวของวงแหวนชักซินิกแอนไฮไดรค์ หากมาเลอิกแอนไฮไดรค์ยังอยู่ในรูปของวงแหวนแอนไฮไดรค์จะปรากฏที่เลขคลื่น 1784 cm^{-1} แสดงถึงการมีหมู่คาร์บอนิลของมาเลอิกแอนไฮไดรค์ที่กราฟดีบันพอลิเอทิลีนชนิดความหนาแน่นสูง (George, et al., 1995)

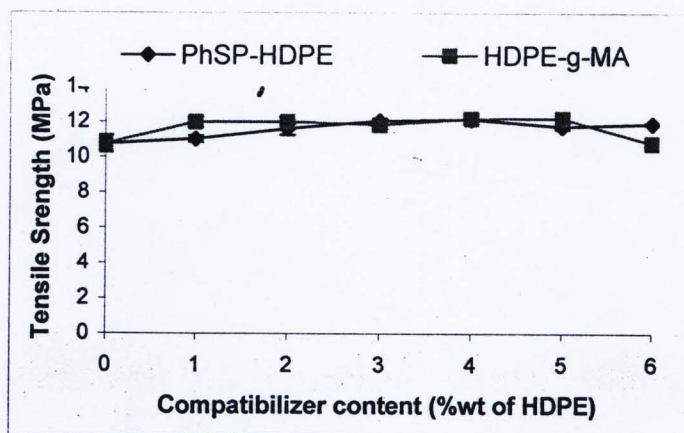
การเตรียมและสเปกตรัมอินฟราเรดของ PhSP-HDPE และวิเคราะห์ด้วยเครื่อง FTIR ได้
สเปกตัมอินฟราเรด แสดงดังรูปที่ 7



รูปที่ 7 อินฟราเรดสเปคตรัมของ HDPE และ PhSP-HDPE

จากการเตรียม PhSP-HDPE แล้วนำมามีเคราะห์เปรียบเทียบกับ HDPE ดังรูปที่ 7 พบว่า สารเพิ่มความเข้ากันได้ที่เตรียมได้นั้น ปรากฏพิคที่ตำแหน่งคลื่น 3368 cm^{-1} และถึงการคุณภาพของหมุนฟีโนอลในไคเมททิลลอฟีโนอลิกเรชิน ซึ่งเกะติดอยู่กับโครงสร้างของพอลิเอทิลีน ส่วนเลขคลื่นที่ตำแหน่ง 1653 cm^{-1} จะแสดงพีคของหมู่ $\text{C}=\text{C}$ บนพอลิเอทิลีนที่ถูกดัดแปลงไม่เลกูลด้วยไคเมททิลลอฟีโนอลิกเรชิน (George et al., 1999)

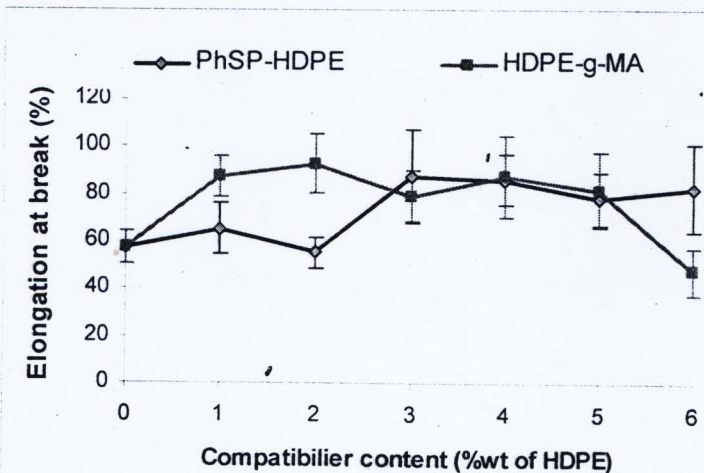
การทดสอบสมบัติความต้านทานต่อแรงดึง



— รูปที่ 8 ค่าความต้านทานต่อแรงดึงของเทอร์โมพลาสติกวัลคาไนซ์ที่มีปริมาณสารเพิ่มความเข้ากันได้ของ HDPE-g-MA และ PhSP-HDPE ที่ใช้ปริมาณ 1-6 %wt of HDPE

จากรูปที่ 8 จะพบว่าความต้านทานต่อแรงดึงของเทอร์โมพลาสติกนั้น จะมีแนวโน้มเพิ่มสูงขึ้น เล็กน้อยตามปริมาณการใส่สารเพิ่มความเข้ากันได้ แต่ที่ปริมาณ 6 %wt of HDPE ของการใช้ HDPE-g-MA ค่าจะเริ่มลดลง โดยที่ HDPE-g-MA จะทำให้เทอร์โมพลาสติกวัลคาไนซ์มีความต้านทานต่อแรงดึงสูงกว่า PhSP-HDPE เป็นผลเนื่องจาก การใช้เปอร์ออกไซด์ในปฏิกริยาการเตรียม HDPE-g-MA เข้าไปวัลคาไนซ์เกิดการเชื่อมโยงพันธะชื่นในโครงสร้างของพอลิเอทธิลีนและยางได้และไม่ได้ส่งผลทำให้เกิด ปรากฏการณ์การตัดสายโซ่ (Beta C-C Scission) ในโมเลกุลของพอลิเอทธิลีน (พันธิกา, 2549) อีกทั้งหมู่ฟิโนลิกใน PhSP-HDPE เป็นหมู่ฟิโนลิกซึ่งทำให้ไปขัดขวางการเชื่อมโยง ทำให้พันธะไม่แข็งแรงเท่ากับ HDPE-g-MA

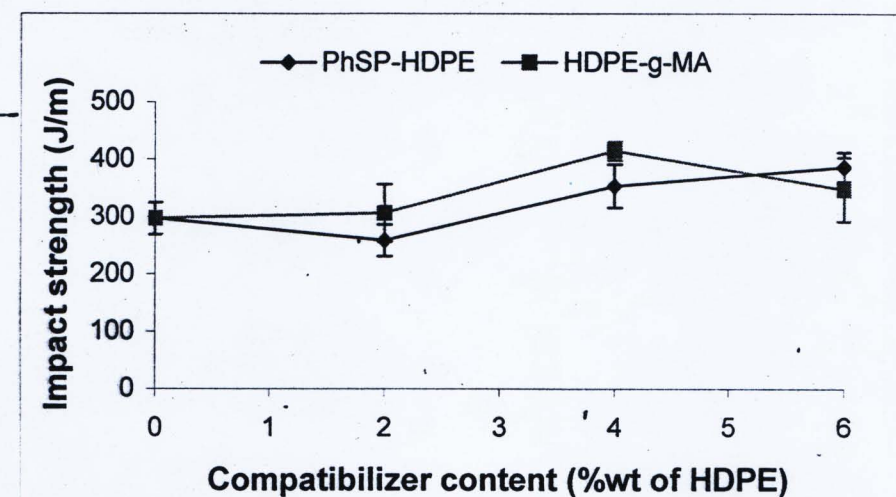
การทดสอบสมบัติความสามารถในการยืดจันขาด



รูปที่ 9 ค่าความสามารถในการยืดจันขาดของเทอร์โมพลาสติกวัลคาไนซ์ที่มีปริมาณสารเพิ่มความเข้ากันได้ของ HDPE-g-MA และ PhSP-HDPE ที่ใช้ปริมาณ 1-6 %wt HDPE

สารเพิ่มความเข้ากัน ได้แก่จากจะทำให้ความต้านทานต่อแรงดึงเพิ่มสูงขึ้นแล้ว ยังสามารถทำให้ความสามารถในการยึดจับขาดเพิ่มสูงขึ้นด้วย ดังรูปที่ 9 จะพบว่า HDPE-g-MA จะทำให้ความสามารถในการยึดจับขาดสูงกว่า PhSP-HDPE และค่าที่ได้จะมีแนวโน้มเพิ่มสูงขึ้นตามปริมาณการใช้สารเพิ่มความเข้ากัน ได้ แต่ที่ปริมาณ 6 %wt HDPE ของการใช้ HDPE-g-MA ค่าจะเริ่มตกลงเช่นเดียวกับความต้านทานต่อแรงดึงในรูปที่ 8

การทดสอบสมบัติความต้านทานต่อแรงกระแทก

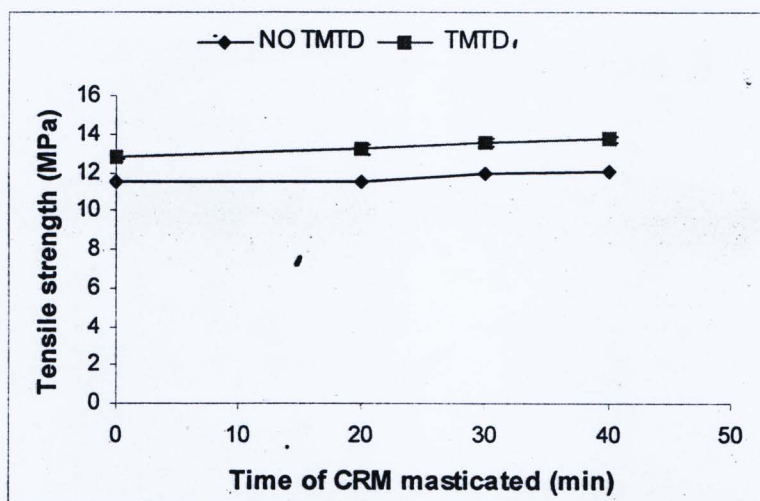


รูปที่ 10 ค่าความต้านทานต่อแรงกระแทกของเทอร์โมพลาสติกวัลคานิซึ่งมีปริมาณสารเพิ่มความเข้ากันได้ของ HDPE-g-MA และ PhSP-HDPE ที่ใช้ปริมาณ 1-6 %wt HDPE

จากรูปที่ 10 คือค่าความต้านทานต่อแรงกระแทกของเทอร์โมพลาสติกวัลคานิซึ่งเป็นชนิดและปริมาณสารเพิ่มความเข้ากันได้ซึ่งในการทดสอบนี้จะเลือกชนิด HDPE-g-MA และ PhSP-HDPE ที่ปริมาณ 2, 4 และ 6%wt HDPE จะพบว่าสารเพิ่มความเข้ากันได้ชนิด HDPE-g-MA จะทำให้เทอร์โมพลาสติกวัลคานิซึ่นความต้านทานต่อแรงกระแทกสูงกว่าชนิด PhSP-HDPE และที่ปริมาณสารเพิ่มความเข้ากันได้สูงขึ้นทำให้ความต้านทานต่อแรงกระแทกสูงขึ้นด้วย แต่ถ้ามีปริมาณสูงเกินไปจะทำให้ปริมาณที่ใช้เกินจุดวิกฤติของความเข้มข้นไนเมเซลล์ (Critical micelle concentration, CMC) โดยจะเกิดการอิ่มตัวระหว่างผิว (Interface saturation) ของพอลิเมอร์เบลนด์ เมื่อความเข้มข้นของสารเพิ่มความเข้ากันได้มากกว่าจุด CMC แล้วทำให้ไม่สามารถทำหน้าที่เป็นสารเชื่อมระหว่างผิวประจุของพอลิเมอร์ (พันธุภาพ, 2549) ส่วนที่เหลือก็จะไปแทรกตัวระหว่างเฟสของพอลิเมอร์เบลนด์ทำให้สมบัติลดลง

III. ศึกษาอิทธิพลของเวลาการบดและการเติมสารเตตราระเมทิลไทรยแพร์ ไดซ์ไลฟ์

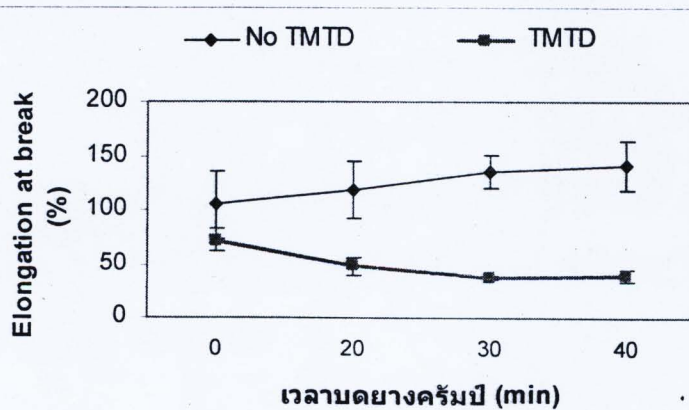
การทดสอบสมบัติความต้านทานต่อแรงดึง



รูปที่ 11 ความทนทานต่อแรงดึงกับเวลาการบดยางครั้งปีที่ไม่ใส่และใส่ TMTD ของ TPVs

จากการทดสอบสมบัติความทนทานต่อแรงดึงที่แปรเวลาในการบดยางครั้งปีที่ไม่ใส่สาร TMTD ดังรูปที่ 11 นั้นพบว่า เมื่อยางครั้งปีผ่านการบดนานขึ้นก็จะทำให้ความทนทานต่อแรงดึงมีแนวโน้มเพิ่มขึ้นด้วย การบดยางครั้งปีที่มีสาร TMTD ที่เวลาบดนานขึ้นก็จะมีแนวโน้มแข็งเดียวกันด้วย และถ้าเปรียบเทียบที่เวลาเดียวกัน การใส่สารรีเคลม TMTD นั้นก็จะทำให้ความทนทานต่อแรงดึงมีค่าสูงกว่า การไม่ใส่ TMTD ดังรูปที่ 11

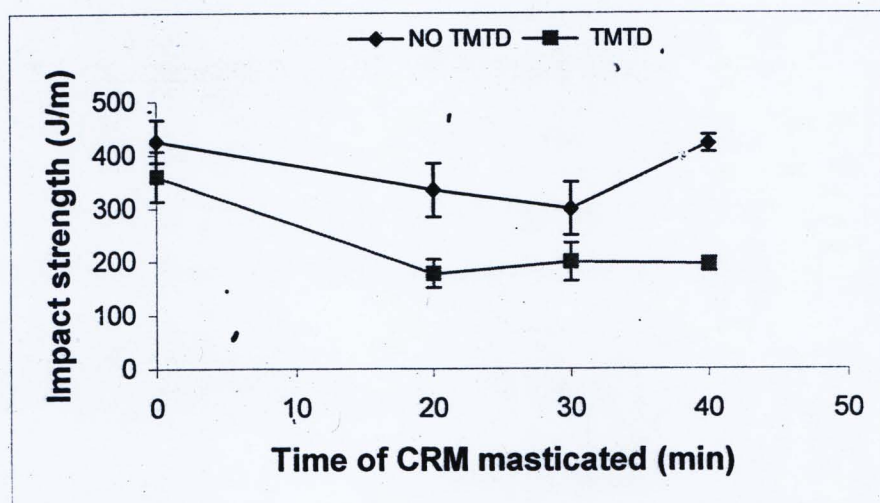
การทดสอบสมบัติความสามารถในการยืดจันขาด



รูปที่ 12 ความสามารถในการยืดจันขาดกับเวลาการบดยางครั้งปีที่ไม่ใส่และใส่ TMTD ของ TPVs

ความสามารถในการยึดจันขาดของเทอร์โมพลาสติกวัลค่าไนซ์ที่แบร์เวลามดยางครัมป์ที่เวลา 0, 20, 30 และ 40 นาที โดยจะแบ่งออกเป็นยางครัมป์ที่ไม่ได้ TMTD กับยางครัมป์ที่ได้ TMTD ดังรูปที่ 12 พบว่า เทอร์โมพลาสติกวัลค่าไนซ์ที่ไม่ได้ TMTD ขณะบดยางครัมป์ที่เวลาต่างๆ ความสามารถในการยึดจันขาดจะมีแนวโน้มเพิ่มสูงขึ้นตามระยะเวลาบดที่นานขึ้นด้วย ส่วนเทอร์โมพลาสติกวัลค่าไนซ์ที่ใช้ TMTD ในขณะบดยางครัมป์ จะมีความต้านทานต่ำกว่าและมีแนวโน้มลดลงตามเวลาการบดที่นานขึ้น

การทดสอบสมบัติความต้านทานต่อแรงกระแทก



รูปที่ 13 ความต้านทานต่อแรงกระแทกกับเวลาการบดยางครัมป์ที่ไม่ได้และได้ TMTD ของ TPVs

จากรูปที่ 13 พบว่าเทอร์โมพลาสติกวัลค่าไนซ์ที่ไม่ใช้สาร TMTD จะมีความต้านทานต่อแรงกระแทกมากกว่าเทอร์โมพลาสติกวัลค่าไนซ์ที่ใส่สาร TMTD อาจเนื่องมาจากการเข้าไปทำปฏิกิริยา Devulcanization จะมีการตัดสายโซ่และมีการรวมสายโซ่ของยางอีกครั้ง ซึ่งพันธะอาจจะไม่แข็งแรงและมีปริมาณการเชื่อมโดยลดลง ส่งผลให้สมบัติของยางที่ไม่ได้ TMTD มีค่าสูงกว่า

จากการทดลองนี้จะได้ว่า การใช้ TMTD ที่บดผสมร่วมกับยางครัมป์ที่เวลาต่างๆ นั้นจะทำให้เทอร์โมพลาสติกวัลค่าไนซ์มีสมบัติขึ้นเฉพาะความต้านทานต่อแรงดึงเท่านั้น แต่ความสามารถในการยึดจันขาดและความต้านทานต่อแรงกระแทกจะมีสมบัติต่ำกว่าการไม่ได้ TMTD อย่างเห็นได้ชัด อีกทั้งราคาต้นทุนมีค่าสูงขึ้นด้วย จึงไม่มีความจำเป็นต้องใช้สาร TMTD และสำหรับการบดเนื้ายางครัมป์ที่เวลา 40 นาทีก่อนเบلنด์จะทำให้เทอร์โมพลาสติกมีสมบัติความต้านทานต่อแรงดึงและสมบัติความสามารถในการยึดจันขาดมีค่าสูงขึ้น แต่จะเพิ่มพลังงานที่ใช้การบดนานขึ้นด้วยเช่นกัน

เอกสารอ้างอิง

- พรพรรณ นิธิอุทัย. (2528). สารเคมีสำหรับยาง. ปัตตานี. คณะวิทยาศาสตร์และเทคโนโลยี
มหาวิทยาลัยสงขลานครินทร์.
- พัฒนา เกื้อเส้ง. (2549). อิทธิพลของน้ำมัน พลาสติไซเซอร์และสารตัวเติมที่มีผลต่อสมบัติของเทอร์โมพลาสติกอิเล็กโถเมอร์จากการเบลนด์ยางธรรมชาติกับพอลิเอทธิลีนชนิดความหนาแน่นสูง.

วิทยานิพนธ์ระดับปริญญาตรี ภาควิชาเทคโนโลยียางและพอลิเมอร์ คณะวิทยาศาสตร์และเทคโนโลยี มหาวิทยาลัยสงขลานครินทร์.

พันทิภา วงศ์พานิช. 2549. การเตรียมเทอร์โมพลาสติกอิเล็กโทรเมอร์จากยางธรรมชาติอิพอกไซค์เบลนด์กับพอลิเอทธิลีนชนิดความหนาแน่นสูง. วิทยานิพนธ์ระดับปริญญาตรี ภาควิชาเทคโนโลยียางและพอลิเมอร์ คณะวิทยาศาสตร์และเทคโนโลยี มหาวิทยาลัยสงขลานครินทร์.

สมบัติ พุทธจักร และอะหรุณ ทีมนุสรี. (2550). เอกสารประกอบการเรียนวิชา 723-272 ปฏิบัติการ สมบัติสารและรีโอลาย. ภาควิชาวิทยาศาสตร์ คณะวิทยาศาสตร์และเทคโนโลยี มหาวิทยาลัยสงขลานครินทร์. วิทยาเขตปัตตานี.

สมาคมอุตสาหกรรมพลาสติกไทย, 2550. ข้อมูลร่องของขึ้นงานฉีดพลาสติกและวิธีแก้ไข (ออนไลน์).

สืบค้นจาก: www.tbia.org [27 กันยายน 2550].

วิสุทธิ์ แก้วสกุล (2550). การเตรียมเทอร์โมพลาสติกวัลค่าในช่วงจากการเบลนด์ยางธรรมชาติอิพอกไซค์กับพอลิไพรีเพลิน. วิทยานิพนธ์ระดับปริญญาตรี ภาควิชาเทคโนโลยียางและพอลิเมอร์ คณะวิทยาศาสตร์และเทคโนโลยี มหาวิทยาลัยสงขลานครินทร์.

อรอนยา สรวนิร. (2546). สารเติมแต่งพอลิเมอร์. ภาควิชาวัสดุศาสตร์ คณะวิทยาศาสตร์ จุฬาลงกรณ์มหาวิทยาลัย.

Duin, M.V., 2006. Recent Developments for EDPM-Based Thermoplastic Vulcanisates (Online).

Available: <http://www.ms-journal.de.html> [2007, July 1]

Edson, G., 2004: U.S. Patent #6,703,440.

George, S., Joseph, R., Thomas, S. and Varughese, K.T. 1995. Blends of isotactic polypropylene and nitrile rubber: morphology, mechanical properties and compatibilization. Polymer, 23: 4405-4416.

George, S., Ramamurthy, K., Anand, J.S., Groeninckx, G., Varughese, K.T. and Thomas, S. 1999. Rheological behaviour of thermoplastic elastomers from polypropylene/ acrylonitrile-butadiene rubber blends: effect of blend ratio, reactive compatibilization and dynamic vulcanization. Polymer, 15: 4325-4344.

George, S., Varughese, K.T. and Thomas, S. 2000. Thermal and crystallization behavior of isotactic polypropylene/nitrile rubber blends. Polymer, 14: 5485-5503.

Holden, G. 2000. Understanding Thermoplastic Elastomers. Hanser Publishers, Munich, 9-72.

Ishiaku, U.S., Chong, C.S. and Ismail, H. 1998. Determination of optimum De-Link R concentration in a recycled rubber compound. Polymer Testing 18 (1999) 621-633.

Kiatkamjornwong, S., Nakason, C., Nuansomsri K., and Kaesaman A., 2006. Dynamic vulcanization of natural rubber/high density polyethylene blends: Effect of compatibilization, blend ratio and curing system. Polymer testing 25 782-796.

Kumar, C. Radhesh, Fuhrmann, I., and Karger-Kocsis, J., 2002. LDPE-based thermoplastic elastomers containing ground tire rubber with and without dynamic curing. Polymer Degradation and Stability, 76 137-144.

Myhre, M. and Mackillop, D.A. Rubber Recycling. *Rubber Chemistry and Technology* V.75 No. 3-5, Jul-Dec. (2002) 429-474.

Nakason, C., Saiwari, S. and Kaesaman, A. 2006. Rheological properties of maleated natural rubber/polypropylene blends with phenolic modified polypropylene and polypropylene-g-maleic anhydride compatibilizers. *Polym. Test.*, 3: 413-423.

Naskar, A.K., De, and Bhomwick, *J. Appl. Polym. Sci.*, 84, 2002, p. 370.

Punnarak, P., Tantayanon, S. and Tangpasuthadol, V. 2006. Dynamic vulcanization of reclaimed tire rubber and high density polyethylene blends. *Polymer Degradation and Stability* 91. 3456-3462.

Rajalingam, P., Sharpe, J. and Baker W.E. *Rubber Chem Technol* 1993;66:664-77.

Sunthonpagasit, N., Duffey, M.R., 2003. Scrap tire to crumb rubber: feasibility analysis for processing facilities, *Resources, Conservation and recycling* 40 (2004) 281-299.

Thitithammawong, A., Nakason, C., Sahakaro, K., and Noordermeer, J., 2007. Effect of Different types of peroxides on rheological, mechanical, and morphological properties of thermoplastic vulcanizates based on natural rubber/polypropylene blends. *Polymer testing* 26 537-546.

ความเห็นและข้อเสนอแนะในการพัฒนาเพื่อใช้ผลงานวิจัยในระดับอุดมศึกษา

ในขณะนี้อยู่ในขั้นตอนที่จะหาผู้ผลิตวัสดุเทอร์โมพลาสติกอิเล็กทรอนิกส์ในเชิงพาณิชย์ที่มีศักยภาพในการผลิตที่สูง และมีความสามารถในการแข่งขันทางด้านเศรษฐกิจ ตอนที่จะพัฒนาสู่ตลาดผลิตภัณฑ์ที่เหมาะสมต่อไป ในขณะที่ผลิตภัณฑ์หลังคายางด้านบนแบบจำลองน้ำที่ได้ทดลองเข้าสู่ตลาดผู้จัดงานในขั้นเริ่มต้น ซึ่งเบื้องต้นได้มีการนำผลงานเข้าประกวดและได้รับรางวัลชนะเลิศระดับประเทศในผลงานนวัตกรรมที่เตรียมด้วยวัสดุที่ได้จากการวิจัยนี้ ซึ่งร่วมกับ Green Innovation Award 2008 โดยการแข่งขันคังก่าวจักรี โภษะธรรมวงศ์ ร่วมกับบริษัท ปตท. เคมีคอล (มหาชน) จำกัด คาดว่าจะสร้างความน่าเชื่อถือและสร้างการประชามั่นพันธ์ในด้านงานระดับหนึ่ง

ในขณะที่ได้มีการทดสอบการใช้วัสดุนี้ในการเตรียมผลิตภัณฑ์ตัวอย่างในขั้นต้นแล้ว ทางภาคเอกชนผู้ร่วมทุน มีความเห็นว่าเพื่อให้มีศักยภาพในการแข่งขันทางเศรษฐกิจ จำเป็นจะต้องมีการผลิตในปริมาณที่สูง ดังนั้นในขั้นต้นจึงควรที่จะทำการผลิตวัสดุเพื่อจำหน่ายเพื่อทดสอบในผลิตภัณฑ์อื่นๆ ที่มีในห้องทดลองก่อน โดยผู้ร่วมทุนภาคอุดมศึกษาทำหน้าที่เป็นผู้จัดจำหน่าย และวัสดุส่วนหนึ่งจะสามารถนำมาใช้ในผลิตภัณฑ์ของผู้ร่วมทุนตามความเหมาะสม

ขณะเดียวกันเนื่องจากผลงานมีศักยภาพในเชิงพาณิชย์ จึงต้องมีขั้นตอนในการจดสิทธิบัตรเพื่อป้องกันทรัพย์สินทางปัญญาควบคู่กันไปด้วย ซึ่งต้องมีการเจรจาร่วมกันอีกครั้งหนึ่ง



